

12,03

Зеемановское расщепление состояний легкой дырки в квантовых ямах: сопоставление теории и эксперимента

© М.В. Дурнев

Физико-технический институт им. А.Ф. Иоффе РАН,
Санкт-Петербург, Россия

E-mail: durnev@mail.ioffe.ru

(Поступила в Редакцию 5 декабря 2013 г.)

Построенная нами ранее теория зеемановского расщепления состояний легкой дырки сопоставлена с литературными экспериментальными данными, полученными различными группами на образцах с квантовыми ямами GaAs/AlGaAs, InGaAs/InP и CdTe/CdMgTe. Показано, что описание экспериментов возможно с учетом экситонных эффектов, а также особенностей энергетического спектра дырок в яме, определяемого сложной структурой валентной зоны и интерфейсным смешиванием тяжелой и легкой дырок. Для свободной дырки установлены границы применимости линейного по магнитному полю приближения в системах с сильным интерфейсным смешиванием дырок. Показано, что абсолютная величина и знак g -фактора легкой дырки чрезвычайно чувствительны к параметризации гамильтониана Латтинжера.

Работа выполнена при поддержке фонда „Династия“, РФФИ, гранта Президента РФ НШ-1085.2014.2 и проектов EC SPANGLAQ и POLAPHEN.

1. Введение

Размерное квантование носителей заряда в полупроводниковых наноструктурах приводит к существенной перенормировке g -фактора электронов и дырок [1–5]. Так, в теоретической работе [5] была предсказана гигантская перенормировка g -фактора легкой дырки в квантовых ямах за счет магнитоиндуцированного смешивания основного состояния легкой дырки ($lh1$) и первого возбужденного состояния тяжелой дырки ($hh2$). Большие значения g -фактора легкой дырки (g_{lh1}) в квантовых ямах наблюдались также в ряде экспериментов, включающих измерения спектров магнитофотолюминесценции [6–8], квантовых биений между спиновыми подуровнями экситона [9], дифференциальную спектроскопию магнитопротекания [10] и магнитоотражения [11], а также измерения магнитооптического эффекта Керра [12]. Полученные в перечисленных работах значения g_{lh1} (табл. 1) существенно превышают значения g -фактора тяжелой дырки и электрона, наблюдаемые в ямах типа

Таблица 1. Экспериментально измеренные величины g -фактора легкой дырки, анализируемые в настоящей работе

Материал	Ширина ямы, Å	g_{lh1}
GaAs/Al _{0.3} Ga _{0.7} As	30 [9]	1.4*
	120 [9]	2.9*
	150 [6]	4*
GaAs/Al _{0.36} Ga _{0.64} As	20–180 [11]	2–6
	180 [8]	–9.4
GaAs/Al _{0.33} Ga _{0.67} As	43–140 [12]	6–9
In _{0.53} Ga _{0.47} As/InP	100 [10]	8.9 ± 1.2
CdTe/Cd _{0.74} Mg _{0.26} Te	75 [7,13]	–3

* Абсолютное значение g_{lh1} .

GaAs/AlGaAs. Следует отметить, что экспериментальное определение g -фактора легкой дырки представляет, по всей видимости, непростою задачу, поэтому далее анализируются только абсолютные значения g_{lh1} .

В настоящей работе проведен детальный анализ экспериментальных данных по g -фактору легкой дырки в квантовых ямах GaAs/AlGaAs, InGaAs/InP и CdTe/CdMgTe, а также сопоставление этих данных с теорией. Теоретическая модель работы [5], в основе которой лежит резонансное двухуровневое приближение (рассматриваются только подзоны $lh1$ и $hh2$), расширена с учетом магнитоиндуцированного смешивания рассматриваемого состояния со всеми дырочными состояниями как дискретного, так и непрерывного спектра в рамках гамильтониана Латтинжера. В работе также построена теория зеемановского расщепления дырочных состояний вблизи критической ширины (ширина ямы, при которой происходит пересечение уровней $lh1$ и $hh2$) с учетом интерфейсного смешивания тяжелой и легкой дырок, которая предсказывает наличие нелинейного по магнитному полю вклада в эффект Зеемана. Развита теория зеемановского эффекта на экситоне с легкой дыркой с учетом смешивания дырочных состояний на интерфейсах. Показано, что кулоновское взаимодействие между электроном и дыркой приводит к линейному по магнитному полю расщеплению спиновых подзон экситона даже в ямах с критической шириной. Результаты расчетов, учитывающих экситонные эффекты, удовлетворительно описывают данные экспериментов.

2. Модель

Дырочный эффект Зеемана в магнитном поле, направленном вдоль оси роста квантовой ямы $\mathbf{B} \parallel z \parallel [001]$, представляет собой сумму двух вкладов. Первый вклад,

соответствующий объемной дырке, описывается гамильтонианом

$$\mathcal{H}_B = -2\kappa\mu_B \mathbf{J} \cdot \mathbf{B}, \quad (1)$$

где κ — магнитная константа Латтинжера, μ_B — магнетон Бора, \mathbf{J} — псевдовектор, составленный из матриц момента $J = 3/2$ [14–16]. Здесь малые, кубические по \mathbf{J} слагаемые не учитываются. Второй вклад является следствием сложной структуры валентной зоны и отвечает линейному по волновому вектору в плоскости ямы $\mathbf{k} = (k_x, k_y)$ смешиванию состояний тяжелой и легкой дырок недиагональными элементами гамильтониана Латтинжера H и H^* , где $H = -\sqrt{3}\hbar^2\gamma_3/m_0(k_x - ik_y)\hat{k}_z$ [3,5]. Здесь γ_i ($i = 1, 2, 3$) — параметры Латтинжера, \hat{k}_z — оператор z -проекции волнового вектора дырки, \hbar — постоянная Планка, m_0 — масса свободного электрона. С учетом этого смешивания волновые функции основных состояний легкой и тяжелой дырок записываются в виде [17]

$$\Phi_{\pm}^{(l)} = C_l(z)|\pm 1/2\rangle \mp i(k_{\mp}a)S_l(z)|\pm 3/2\rangle, \quad (2a)$$

$$\Phi_{\pm}^{(h)} = C_h(z)|\pm 3/2\rangle \pm i(k_{\pm}a)S_h(z)|\pm 1/2\rangle, \quad (2b)$$

где $C_l(z) \equiv |lh1\rangle$ и $C_h(z) \equiv |hh1\rangle$ — волновые функции размерного квантования дырки вдоль оси z при $k = 0$, $|\pm 1/2\rangle$, $|\pm 3/2\rangle$ — блоховские функции, $k_{\pm} = k_x \pm ik_y$, a — ширина квантовой ямы. Функции $C_{l,h}(z)$ удовлетворяют уравнению Шредингера

$$\left[-\frac{\hbar^2}{2m_0} \frac{d}{dz} (\gamma_1 \pm 2\gamma_2) \frac{d}{dz} + V(z) \right] C_{l,h}(z) = \varepsilon_{l,h} C_{l,h}(z) \quad (3)$$

и имеют вид

$$C_{l,h}(z) = \mathcal{N}_{l,h} \begin{cases} \cos k_{l,h}z, & |z| < a/2, \\ \cos(k_{l,h}a/2)e^{-\kappa_{l,h}(|z|-a/2)}, & |z| > a/2, \end{cases} \quad (4)$$

где

$$k_{l,h} = \sqrt{\frac{2m_0\varepsilon_{l,h}}{\hbar^2(\gamma_1 \pm 2\gamma_2)}}, \quad \kappa_{l,h} = \sqrt{\frac{2m_0(V_0 - \varepsilon_{l,h})}{\hbar^2(\gamma_1 \pm 2\gamma_2)}}.$$

Здесь $\mathcal{N}_{l,h}$ — нормировочный множитель, $\varepsilon_l \equiv \varepsilon_{lh1}$ и $\varepsilon_h \equiv \varepsilon_{hh1}$ — энергии состояний $|lh1\rangle$ и $|hh1\rangle$, $V(z) = 0$, при $|z| < a/2$ и $V(z) = V_0$ при $|z| > a/2$ — квантующий потенциал ямы. Высота барьера V_0 равна разрыву валентной зоны на гетероинтерфейсе. Для сшивки $C_{l,h}$ и $S_{l,h}$ на интерфейсах используется непрерывность столбцов $\Phi_{\pm}^{(l,h)}$ и $\hat{v}_z \Phi_{\pm}^{(l,h)}$, где \hat{v}_z — оператор скорости. Для функции $C_{l,h}$ такие условия с точностью до членов второго порядка по ka дают стандартные граничные условия Бастарда [18].

Нечетные по z функции $S_{l,h}(z)$ удовлетворяют следующему уравнению:

$$\begin{aligned} \left[-\frac{\hbar^2}{2m_0} \frac{d}{dz} (\gamma_1 \mp 2\gamma_2) \frac{d}{dz} + V(z) - \varepsilon_{l,h} \right] S_{l,h}(z) \\ = -\frac{\sqrt{3}\hbar^2}{m_0a} \left\{ \gamma_3 \frac{d}{dz} \right\} C_{l,h}(z). \end{aligned} \quad (5)$$

Здесь верхний знак соответствует S_l , а нижний — S_h , фигурные скобки обозначают симметризованное произведение $\left\{ \gamma_3 \frac{d}{dz} \right\} = \frac{1}{2} (\gamma_3 \frac{d}{dz} + \frac{d}{dz} \gamma_3)$. С учетом (4) решения уравнения (5) могут быть представлены в виде

$$S_l = \begin{cases} A_1^{(l)} \sin(k_l z / \sqrt{\nu}) + A_2^{(l)} \sin k_l z, & |z| < a/2, \\ \left[B_1^{(l)} e^{-\kappa_l(|z|-a/2)/\sqrt{\nu}} + B_2^{(l)} \cos(k_l a/2) e^{-\kappa_l(|z|-a/2)} \right] \text{sign}(z), & |z| > a/2, \end{cases} \quad (6a)$$

$$S_h = \begin{cases} A_1^{(h)} \sin(k_h \sqrt{\nu} z) + A_2^{(h)} \sin k_h z, & |z| < a/2, \\ \left[B_1^{(h)} e^{-\kappa_h \sqrt{\nu}(|z|-a/2)} + B_2^{(h)} \cos(k_h a/2) e^{-\kappa_h(|z|-a/2)} \right] \text{sign}(z), & |z| > a/2, \end{cases} \quad (6b)$$

где $\nu = (\gamma_1 - 2\gamma_2)/(\gamma_1 + 2\gamma_2)$. Коэффициенты $A_2^{(l,h)}$ и $B_2^{(l,h)}$ находятся непосредственно из уравнения (5) и равны

$$A_2^{(lh)} = -\frac{\sqrt{3}}{2k_{l,h}a} \frac{\gamma_3}{\gamma_2} \mathcal{N}_{l,h}, \quad B_2^{(l,h)} = \frac{\sqrt{3}}{2\kappa_{l,h}a} \frac{\gamma_3}{\gamma_2} \mathcal{N}_{l,h}, \quad (7)$$

в то время как для поиска $A_1^{(lh)}$ и $B_1^{(l,h)}$ используются условия сшивки $S_{l,h}$ на гетероинтерфейсах. Из непрерывности $\hat{v}_z \Psi_{\pm}^{(l,h)}$ следует, что (это же условие получается при интегрировании (5) вокруг интерфейса)

$$\left[(\gamma_1 \mp 2\gamma_2) \frac{d}{dz} S_{l,h} + \frac{\sqrt{3}}{a} \gamma_3 C_{lh} \right] \Big|_{z_i^-}^{z_i^+} = 0, \quad (8)$$

где z_i — координата интерфейса.

В присутствии магнитного поля циклические компоненты волнового вектора k_{\pm} , входящие в операторы H и H^* , должны быть записаны в виде $k_{\pm} = |e|/(c\hbar)A_{\pm}$, где $A_{\pm} = A_x \pm iA_y$, \mathbf{A} — векторный потенциал поля, e — заряд электрона, c — скорость света. С учетом этого матричные элементы операторов H и H^* , рассчитанные на состояниях (2), дают линейную по магнитному полю поправку в энергии состояний $\Phi_{\pm}^{(l,h)}$, которая описывается следующими g -факторами:

$$g_{lh1} = -2\kappa + 4\sqrt{3}a \left\langle S_l(z) \left| \left\{ \gamma_3 \frac{d}{dz} \right\} \right| C_l(z) \right\rangle, \quad (9a)$$

$$g_{hh1} = -6\kappa + 4\sqrt{3}a \left\langle S_h(z) \left| \left\{ \gamma_3 \frac{d}{dz} \right\} \right| C_h(z) \right\rangle. \quad (9b)$$

Здесь и далее угловые скобки обозначают квантово-механическое усреднение. Примечательно, что матричные элементы в угловых скобках в точности равны сумме следующих рядов теории возмущений (ср. с [4,5]):

$$\begin{aligned} \left\langle S_l(z) \left| \left\{ \gamma_3 \frac{d}{dz} \right\} \right| C_l(z) \right\rangle \\ = \frac{\sqrt{3}\hbar^2}{m_0a} \sum_v \frac{\langle hh, v | \{ \gamma_3 \hat{k}_z \} | lh1 \rangle^2}{\varepsilon_{lh1} - \varepsilon_{hh,v}}, \end{aligned} \quad (10a)$$

Таблица 2. Значения параметров Латтинжера (γ_i), разрывов валентной зоны (V_0) и магнитной константы (κ) для материалов, используемых в расчетах

Параметризация	Материал	γ_1	γ_2	γ_3	V_0, meV	κ
A [19]	GaAs	8.5	2.08	3.53	—	1.2
A [19]	$\text{Al}_{0.35}\text{Ga}_{0.65}\text{As}$	7.17	1.52	2.9	168	0.82
B [20]	GaAs	7.5	2.7	3.4	—	1.2
B [20]	$\text{Al}_{0.35}\text{Ga}_{0.65}\text{As}$	6.19	2.04	2.71	168	0.82
C [21]	$\text{In}_{0.53}\text{Ga}_{0.47}\text{As}$	13.7	5.95	5.95	354	4.63
C [21]	InP	5	1.84	1.84	—	0.97
D [22]	CdTe	4.72	1.29	1.85	—	0.47
D [22]	$\text{Cd}_{0.74}\text{Mg}_{0.26}\text{Te}$	4.72	1.29	1.85	133	0.47

Примечание. Величины γ_i для параметризаций A и B рассчитаны с использованием параметров 14-зонной модели. Для расчета γ_i , κ и ширины запрещенной зоны твердых растворов использовались линейная и параболическая интерполяции соответственно. Параметры раствора CdMgTe взяты такими же, как для CdTe.

$$\begin{aligned} & \left\langle S_h(z) \left| \left\{ \gamma_3 \frac{d}{dz} \right\} \right| C_h(z) \right\rangle \\ &= \frac{\sqrt{3}\hbar^2}{m_0 a} \sum_v \frac{|\langle hh1 | \{ \gamma_3 \hat{k}_z \} | lh, v \rangle|^2}{\varepsilon_{lh,v} - \varepsilon_{hh1}}, \end{aligned} \quad (10b)$$

где индекс v нумерует состояния как дискретного, так и непрерывного спектра. Здесь и далее используется дырочное представление, в котором энергии размерного квантования $\varepsilon_{lh,v}$ и $\varepsilon_{hh,v}$ положительны. В рассматриваемом случае симметричной прямоугольной ямы в суммах (10) ненулевые матричные элементы оператора $\{ \gamma_3 \hat{k}_z \}$ существуют только для четных v .

Типичной ситуацией в квантовых ямах является близость энергий ε_{lh1} и ε_{hh2} , которая обуславливает наличие „резонансного“ вклада в сумме для g_{lh1} [5]. Выражение для g_{hh1} , напротив, такого вклада не содержит, что и обуславливает большие значения g_{lh1} , наблюдаемые в эксперименте. Иллюстрацией может служить расчет для ямы с бесконечно высокими барьерами: для параметров GaAs, взятых из [19] (табл. 2), перенормировка g -фактора по сравнению с его объемным значением $\Delta g_{lh1} = g_{lh1} + 2\kappa \approx 22.4$, что существенно больше, чем $\Delta g_{hh1} = g_{hh1} + 6\kappa \approx 2.6$.

2.1. Роль интерфейсного смешивания. Важным фактором, определяющим значения g_{lh1} в квантовых ямах, является интерфейсное смешивание тяжелой и легкой дырок [23,24]. Оно описывается гамильтонианом

$$\mathcal{H}_{i-h} = \pm t_{i-h} \left(\hbar^2 / \sqrt{3} m_0 a_0 \right) \{ J_x J_y \} \delta(z - z_i) \quad (11)$$

с безразмерным параметром t_{i-h} (порядка единицы в квантовых ямах GaAs/AlGaAs [24]). Здесь знаки „плюс“ и „минус“ относятся к левому и правому интерфейсам ямы, фигурные скобки обозначают симметризованное произведение операторов. Далее предполагается, что

энергии ε_{lh1} и ε_{hh2} близки, что позволяет использовать резонансное приближение, учитывающее только состояния дырки $|lh1, \pm 1/2\rangle$ и $|hh2, \mp 3/2\rangle$. Наличие интерфейсного смешивания приводит к тому, что при $k = 0$ состояние дырки в квантовой яме описывается волновыми функциями $\Psi_{\pm}^{(j)}$ ($j = \pm 1$ — спиновой индекс), являющимися линейными комбинациями $|lh1, \pm 1/2\rangle$ и $|hh2, \mp 3/2\rangle$ с константами C_l и C_h [5]:

$$\begin{aligned} \Psi_{-}^{(j)} &= C_l |lh1, 1/2j\rangle + i j C_h |hh2, -3/2j\rangle, \\ \Psi_{+}^{(j)} &= C_h |lh1, 1/2j\rangle - i j C_l |hh2, -3/2j\rangle. \end{aligned} \quad (12)$$

В нулевом магнитном поле состояния $\Psi_{\pm}^{(j)}$ вырождены по спину и имеют энергии $\varepsilon_{+} \equiv \varepsilon_{+}^{(j)}$ и $\varepsilon_{-} \equiv \varepsilon_{-}^{(j)}$ (далее считается, что $\varepsilon_{+} > \varepsilon_{-}$). Зависимости энергий ε_{+} и ε_{-} от ширины ямы GaAs/Al_{0.35}Ga_{0.65}As приведены на рис. 1, а. Учет интерфейсного смешивания приводит к антипересечению дырочных уровней (ср. сплошные и штриховые линии на рис. 1, а), которые расщепляются в критической точке $a = a_{cr}$ (ширина ямы, при которой $\varepsilon_{lh1} = \varepsilon_{hh2}$) на величину $\Delta_{lh} = 2|\langle lh1, \pm 1/2 | \mathcal{H}_{i-h} | hh2, \mp 3/2 \rangle|$, а также существенно влияет на энергетическую дисперсию подзон $\Psi_{\pm}^{(j)}$ в плоскости ямы (подробнее см. в [25,26]).

Зеемановское расщепление состояний Ψ_{+} и Ψ_{-} в продольном магнитном поле B_z может быть получено в рамках резонансной модели путем диагонализации эффективного гамильтониана 4×4 , действующего на столбец $(a_n |n\rangle, b_{n-1} |n-1\rangle, c_n |n\rangle, d_{n-1} |n-1\rangle)^T$, записанного

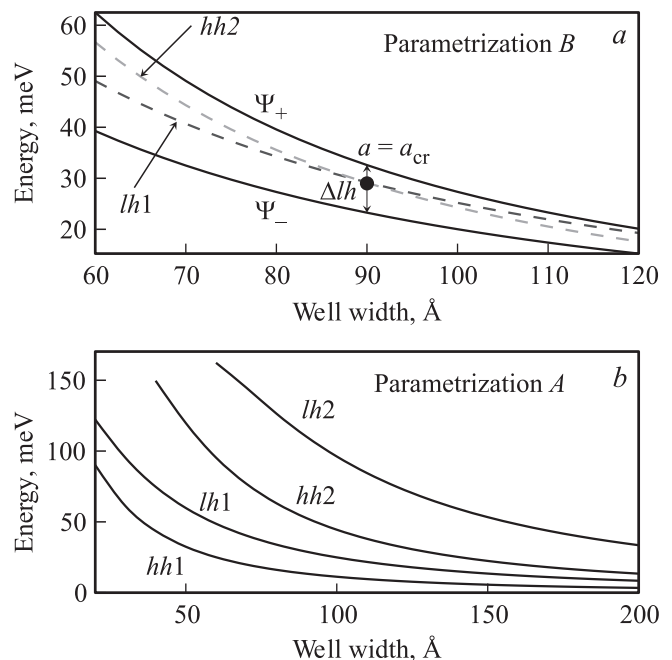


Рис. 1. Энергетический спектр дырок при $k = 0$ в квантовой яме GaAs/Al_{0.35}Ga_{0.65}As. а — расчет с использованием параметризации B, показаны только уровни $lh1$ и $hh2$ при $t_{i-h} = 0$ (штриховые кривые) и энергии смешанных состояний Ψ_{\pm} при $t_{i-h} = 1$ (сплошные кривые); б — расчет с использованием параметризации A.

в базе уровней Ландау $|n\rangle$, $n = 0, 1, \dots$ (ср. с [27]),

$$\mathcal{H}_B = \begin{pmatrix} \varepsilon_{hh2} & -i\alpha\sqrt{nB_z} & i\Delta_{lh}/2 & 0 \\ i\alpha\sqrt{nB_z} & \varepsilon_{lh1} & 0 & i\Delta_{lh}/2 \\ -i\Delta_{lh}/2 & 0 & \varepsilon_{lh1} & -i\alpha\sqrt{nB_z} \\ 0 & -i\Delta_{lh}/2 & i\alpha\sqrt{nB_z} & \varepsilon_{hh2} \end{pmatrix}, \quad (13)$$

где

$$\alpha = 2\sqrt{3}\sqrt{\mu_B\hbar^2/m_0}|\langle hh2|\{\gamma_3\hat{k}_z\}|lh1\rangle|.$$

В итоговом ответе для зеемановского расщепления нас будут интересовать только первые два члена разложения по $\sqrt{B_z}$, поэтому в гамильтониане (13) мы не учитываем диагональные циклотронные энергии, дающие вклады $\propto B_z^{3/2}$ и $\propto B_z^2$. Далее мы также пренебрегаем линейным по полю вкладом, описывающим эффект Зеемана на объемной дырке (1), в силу его малости по сравнению с перенормировкой, индуцированной смешиванием валентных подзон. При $n = 0$ собственные энергии (13) равны ε_+ и ε_- и отвечают энергиям состояний $\Psi_+^{(j)}$ и $\Psi_-^{(j)}$ в нулевом магнитном поле. При $n > 0$ вырождение по спину снимается, и диагонализация (13) дает две пары уровней с энергиями

$$\varepsilon_+^{(j)}(n) = \frac{1}{2}\sqrt{(\varepsilon_{lh1} - \varepsilon_{hh2})^2 + (\Delta_{lh} + 2j\alpha\sqrt{nB_z})^2},$$

$$\varepsilon_-^{(j)}(n) = \frac{1}{2}\sqrt{(\varepsilon_{lh1} - \varepsilon_{hh2})^2 + (\Delta_{lh} - 2j\alpha\sqrt{nB_z})^2}. \quad (14)$$

Определим зеемановское расщепление n -го уровня Ландау как разность $\Delta E_{z,\pm}(n) = \varepsilon_{\pm}^{(+1)}(n+1) - \varepsilon_{\pm}^{(-1)}(n)$, тогда зеемановское расщепление нулевого уровня $\Delta E_{z,\pm} \equiv \Delta E_{z,\pm}(0)$ равно

$$\Delta E_{z,\pm} = \left| \frac{1}{2}\sqrt{(\varepsilon_{lh1} - \varepsilon_{hh2})^2 + (\Delta_{lh} \pm 2\alpha\sqrt{B_z})^2} - \frac{1}{2}\sqrt{(\varepsilon_{lh1} - \varepsilon_{hh2})^2 + \Delta_{lh}^2} \right|. \quad (15)$$

Как видно из полученной формулы, характер поведения расщепления с магнитным полем зависит от соотношения между энергиями Δ_{lh} и $\varepsilon_{lh1} - \varepsilon_{hh2}$. В частности, в критической точке имеем $\Delta E_{z,\pm} \propto \sqrt{B_z}$. В противоположном пределе $\Delta_{lh} \rightarrow 0$, $\varepsilon_{lh1} - \varepsilon_{hh2} \neq 0$ зеемановское расщепление в малых полях линейно по полю и описывается g -фактором (9а), (10а), рассчитанным в резонансном приближении (в сумме (10а) остается только одно слагаемое с $\nu = 2$). В том случае, когда Δ_{lh} и $\varepsilon_{lh1} - \varepsilon_{hh2}$ сопоставимы, эффект Зеемана в малых полях описывается формулой

$$\Delta E_{z,\pm} \approx \frac{\alpha\Delta_{lh}}{\Delta}\sqrt{B_z} + \frac{\alpha^2}{\Delta}B_z, \quad (16)$$

где

$$\Delta = \varepsilon_+ - \varepsilon_- = \sqrt{(\varepsilon_{lh1} - \varepsilon_{hh2})^2 + \Delta_{lh}^2},$$

и представляет собой сумму линейного и корневого вкладов. Наличие не являющегося аналитической функцией магнитного поля корневого вклада объясняется тем, что при учете интерфейсного смешивания в эффективном гамильтониане состояний $\Psi_{\pm}^{(j)}$ появляются линейные по волновому спектру слагаемые (подробнее см. в [25]). Как было показано в [27], такие слагаемые приводят к корневному спектру уровней Ландау. Переход между корневым и линейным режимами происходит при некотором критическом поле $B^* = \Delta_{lh}^2/\alpha^2$; таким образом, область корневого поведения расширяется с ростом t_{l-h} . Например, для ямы, представленной на рис. 1, а, при $a = 70 \text{ \AA}$ и $t_{l-h} = 1$ значения $\varepsilon_{lh1} - \varepsilon_{hh2} \approx -3.6 \text{ meV}$, $\Delta_{lh} \approx 15 \text{ meV}$ и $B^* \approx 11 \text{ Т}$. Следует отметить, однако, что зеемановское расщепление в таком поле $|\Delta E_{z,\pm}(B^*)| \approx 15 \text{ meV}$ и может быть сравнимо с расстояниями до других уровней размерного квантования — ситуация, когда резонансная модель неприменима. Наличие корневого слагаемого в (16) приводит к тому, что линейная аппроксимация зеемановского расщепления с использованием эффективного g -фактора $g_{\pm} = \alpha^2/(\Delta\mu_B)$ является корректной только в некотором диапазоне полей при $B_z > B^*$.

2.2. Роль экситонных эффектов. Развитая выше теория Зеемана справедлива для дырок, свободно движущихся в плоскости квантовой ямы. Однако все экспериментальные данные, приведенные в табл. 1, получены методами оптической спектроскопии в области экситонных переходов, поэтому необходим учет кулоновского взаимодействия между электроном и дыркой [26]. В нашем рассмотрении ограничимся случаем сильного размерного квантования вдоль оси z (боровский радиус трехмерного экситона больше, чем ширина квантовой ямы: $a_B > a$) и резонансным приближением. Тогда с учетом интерфейсного смешивания волновая функция экситона, состоящего из электрона, находящегося на основном уровне размерного квантования ($e1$), и дырки, записывается в виде

$$|X_{\pm,l}(s;j)\rangle = \frac{e^{i\mathbf{KR}}}{\sqrt{S}}\psi_l(\mathbf{r})|e1, 1/2s\rangle\Psi_{\pm}^{(j)}. \quad (17)$$

Здесь \mathbf{K} и \mathbf{R} — волновой вектор и координата центра масс экситона, S — нормировочная площадь, $|e1, 1/2s\rangle$ — волновая функция электрона, $s = \pm 1$ — его спиновой индекс, $\psi_l(\mathbf{r})$ — волновая функция относительного движения электрона и дырки в плоскости квантовой ямы, индекс $l = 1s, 2s, 2p, \dots$ нумерует состояния относительного движения. Далее используется приближение двумерного экситона, которое позволяет получить аналитические выражения для $\psi_l(\mathbf{r})$ и энергетического спектра экситона. Точный расчет функции $\psi_l(\mathbf{r})$ связан с необходимостью учета больших линейных по k членов энергетического спектра дырочных подзон и выходит за рамки настоящей работы [28]. Волновые функции движения вдоль оси z свободной дырки $\Psi_{\pm}^{(j)}$ определены в (12). В дальнейшем для определенности

будем рассматривать нижнее по энергии состояние, описываемое волновой функцией $|X_{-,l}(s;j)\rangle$. Такое состояние оптически активно, когда спиновые индексы электрона и дырки совпадают, т.е. при $s = j = 1$ и $s = j = -1$.

Магнитное поле действует только на относительное движение электрона и дырки, которое при учете кулоновского взаимодействия между ними квантуется. Это приводит к тому, что зеемановское расщепление экситонных состояний линейно по магнитному полю даже при наличии интерфейсного смешивания дырок. Таким образом, расщепление между оптически активными состояниями $X_{-,1s}$ описывается g -фактором

$$g(X_{-,1s}) = g^{(e)}(X_{-,1s}) + g^{(h)}(X_{-,1s}), \quad (18)$$

состоящим из электронного и дырочного вкладов. Электронная компонента g -фактора определяется в основном шириной и составом ямы [1,2], и ее перенормировка за счет кулоновских эффектов незначительна.

Перенормировка дырочной компоненты аналогично случаю свободной дырки возникает благодаря смешиванию состояний $X_{-,1s}$ и $X_{\pm, \nu p}$ ($\nu = 2, 3, \dots$) в рамках гамильтониана Латтинжера. Эти состояния разнесены по энергии, поэтому дырочный вклад в экситонный g -фактор может быть записан в виде следующего ряда теории возмущений:

$$g^{(h)}(X_{-,1s}) = -2\chi(|C_l|^2 - 3|C_h|^2) - 12 \frac{\hbar^2}{m_0 a^2} \xi^2 C_x \times \sum_{\nu} \left[4|C_l|^2 |C_h|^2 \frac{\langle \psi_{1s} | k_- | \psi_{\nu p} \rangle \langle \psi_{\nu p} | r_+ | \psi_{1s} \rangle}{E(X_{1s}^-) - E(X_{\nu p}^-)} + (|C_l|^2 - |C_h|^2)^2 \frac{\langle \psi_{1s} | k_- | \psi_{\nu p} \rangle \langle \psi_{\nu p} | r_+ | \psi_{1s} \rangle}{E(X_{1s}^-) - E(X_{\nu p}^+)} \right]. \quad (19)$$

Здесь параметр $\xi = a | \langle hh2 | \{ \gamma_3 \hat{k}_z \} | lh1 \rangle |$, $k_{\pm} = k_x \pm ik_y$ и $r_{\pm} = x \pm iy$ — циклические компоненты волнового вектора и координаты относительного движения электрона и дырки в экситоне. Коэффициент $C_x \sim 1$ определяется дисперсией электрон-дырочной пары и строением экситона вблизи $k = 0$. Отметим, что суммирование по ν распространяется как на дискретный, так и на непрерывный спектр двумерной кулоновской задачи. Выражение (19) можно упростить, используя соотношение $\langle \psi_{1s} | k_- | \psi_{\nu p} \rangle = (i\mu/\hbar^2) \langle \psi_{1s} | r_- | \psi_{\nu p} \rangle (E_{1s} - E_{\nu p})$, μ — приведенная масса экситона, $E_{1s} \equiv E(X_{-,1s})$ и $E_{\nu p} \equiv E(X_{-, \nu p})$ и полноту набора ψ_l . С учетом этого $g^{(h)}(X_{-,1s})$ записывается в виде

$$g^{(h)}(X_{-,1s}) = -2\chi(|C_l|^2 - 3|C_h|^2) - 24\xi^2 C_x \frac{\hbar^2}{m_0 a^2 E_{1s}} \times \left[4|C_l|^2 |C_h|^2 \langle \psi_{1s} | \bar{r}^2 | \psi_{1s} \rangle + (|C_l|^2 - |C_h|^2)^2 \times \sum_{\nu} \frac{E_{1s} - E_{\nu p}}{E_{1s} - E_{\nu p} - \Delta} \left| \langle \psi_{1s} | \bar{r}_- | \psi_{\nu p} \rangle \right|^2 \right], \quad (20)$$

где использовалось соотношение $E_{1s} = 2\hbar^2/\mu a_B^2$, а также введены операторы безразмерной координаты $\bar{r}^2 = r^2/a_B^2$, и $\bar{r}_- = r_-/a_B$.

Формула (20) описывает перенормировку g -фактора легкой дырки с учетом кулоновских эффектов. В случае $\Delta_{lh} = 0$ и $E_{1s} \ll \Delta$ (предел „свободной“ дырки) выражение (20) переходит в формулу для g_{lh1} в резонансном приближении (9а), (10а). При $\Delta_{lh} \neq 0$ в критической точке $|C_l|^2 = |C_h|^2 = 1/2$ второе слагаемое в (20) исчезает, и g -фактор принимает простой вид

$$g^{(h)}(X_{-,1s}) = 2\chi - \frac{9}{2} \xi^2 C_x \frac{\mu}{m_0} \left(\frac{a_B}{a} \right)^2. \quad (21)$$

В квантовой яме GaAs/Al_{0.35}Ga_{0.65}As при $a = a_{cr}$ (рис. 1, а), $C_x = 1$ и $E_{1s} = 10$ meV второе слагаемое в (21) можно оценить как равное примерно -21 .

3. Результаты и обсуждение

Далее проанализируем результаты расчетов зеемановского расщепления тяжелой и легкой дырок в различных приближениях, обсуждавшихся в разделе 2.

3.1. g -фактор тяжелой дырки. Начнем анализ для свободной дырки при $t_{l-h} = 0$. Результаты расчетов g -фактора тяжелой дырки g_{hh1} , проведенные по формуле (9 б), показаны на рис. 2, а сплошными кривыми. Расчет был проведен для двух систем GaAs/Al_{0.35}Ga_{0.65}As и CdTe/Cd_{0.74}Mg_{0.26}Te с использованием параметров, указанных в табл. 2. Для структур на основе GaAs результаты приведены для двух параметризаций гамильтониана Латтинжера (параметризации А, В в табл. 2), дающих похожие энергетические спектры тяжелой дырки $hh1$ (см. также [25]). Для сравнения штриховыми кривыми на рис. 2, а показаны результаты расчетов в рамках „резонансного“ приближения, когда учитывается магнитоиндуцированное смешивание только для двух ближайших дырочных подзон. Очевидно, что перенормировка g_{hh1} в ненапряженных ямах на основе полупроводников с решеткой цинковой обманки всегда положительна, так как для любого ν разность $\epsilon_{lh,\nu} - \epsilon_{hh1}$ положительная (см. (10б)). Рис. 2, а свидетельствует о том, что наиболее существенное различие многоуровневой и резонансной моделей для g_{hh1} наблюдается в области узких ям ($a < 70$ Å): при уменьшении ширины ямы уровень $lh2$ выталкивается вверх по энергии, попадая в достаточно узких ямах в непрерывный спектр. Расхождение двух подходов в широких квантовых ямах связано с локализацией в квантовой яме возбужденных состояний с большими ν , которые не учитываются в рамках резонансной модели. Расчет по формуле (9б) в рамках многоуровневого подхода количественно согласуется с расчетами для этих же систем, проведенными в работе [3] методом численной диагонализации 8-зонного гамильтониана в магнитном поле. Более того, как видно из рис. 2, а, g -фактор тяжелой дырки проходит через нуль, что качественно согласуется с данными экспериментов (см., например, [29]); ширина ямы, при которой происходит смена знака, определяется, однако, выбранной параметризацией.

3.2. Нелинейный эффект Зеемана и g -фактор легкой дырки. Роль параметризации оказывается особенно важной при расчете g -фактора легкой дырки (рис. 2, *b*). Это связано с тем, что перенормировка g_{lh1} может быть как положительной, так и отрицательной в зависимости от знака разности „резонансного“ энергетического знаменателя $\varepsilon_{lh1} - \varepsilon_{hh2}$. Для иллюстрации на рис. 1 приведены положения уровней размерного квантования тяжелой и легкой дырок для ям различной толщины. В частности, для параметризации *A* уровень $lh1$ лежит ниже по энергии, чем $hh2$ для любой ширины ямы (рис. 1, *b*), в то время как для параметризации *B* (рис. 1, *a*) уровни пересекаются при некоторой критической ширине ямы $a_{cr} \approx 90 \text{ \AA}$. В этой точке g_{lh1} , рассчитанный по формуле (9а), обращается в бесконечность. На рис. 2, *b* штриховыми линиями показаны результаты расчетов эффективного g -фактора легкой дырки, отвечающего линейному по полю слагаемому в (16), полученные по формуле (9а) работы [5]. Расчеты представлены для ям GaAs/Al_{0.35}Ga_{0.65}As и

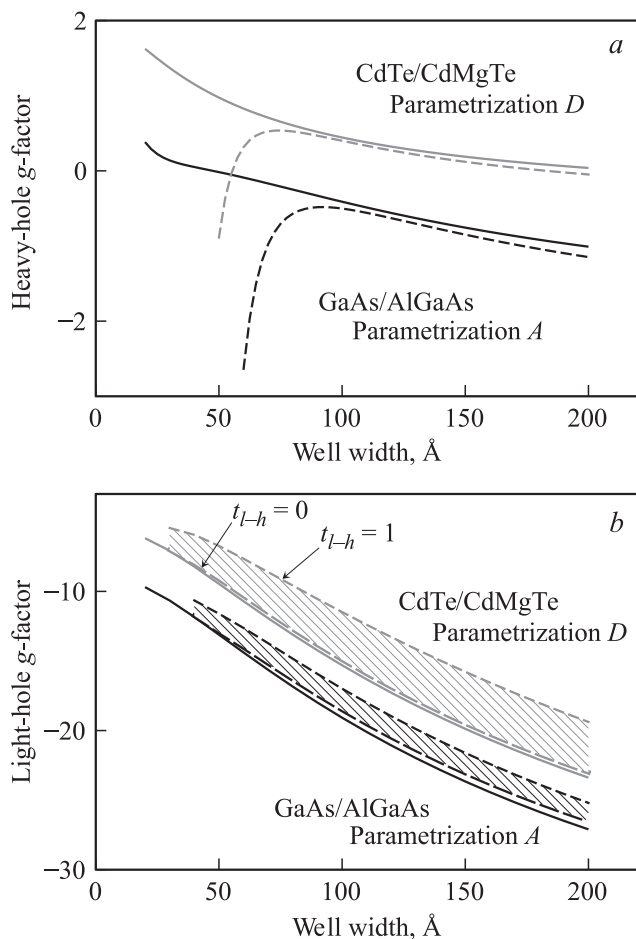


Рис. 2. Рассчитанные зависимости g -фактора тяжелой (*a*) и легкой (*b*) дырок от ширины квантовой ямы для материальных систем GaAs/Al_{0.35}Ga_{0.65}As и CdTe/Cd_{0.74}Mg_{0.26}Te. Сплошными линиями показаны зависимости, рассчитанные по формуле (9). Штриховые линии демонстрируют расчет в „резонансном“ приближении для параметра $t_{l-h} = 0$ (*a*) и $t_{l-h} = 0-1$ (*b*).

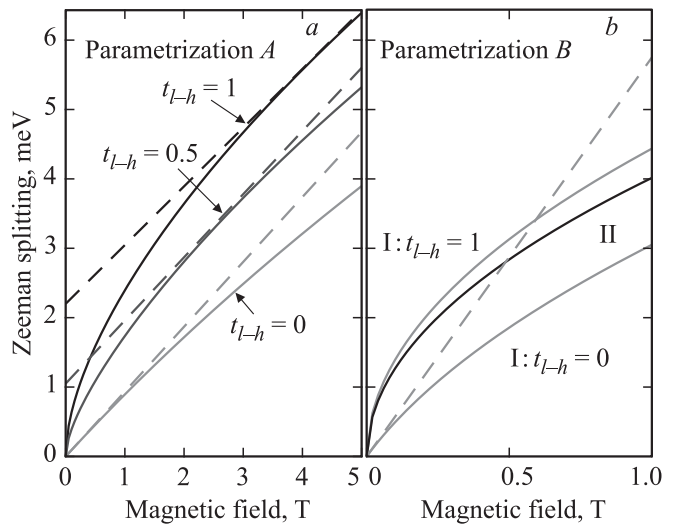


Рис. 3. Зеемановское расщепление состояния Ψ_+ , рассчитанное по формуле (15). *a* — расчет для параметризации *A* при $a = 100 \text{ \AA}$. Значения критических полей $B^* \approx 1.1 \text{ T}$ ($t_{l-h} = 0.5$) и $B^* \approx 4.6 \text{ T}$ ($t_{l-h} = 1$). *b* — расчет для параметризации *B*: $a = 70 \text{ \AA} < a_{cr}$ (кривая I), $a = a_{cr}$ (кривая II). Значение критического поля для кривой I ($t_{l-h} = 1$) $B^* \approx 11 \text{ T}$. Штриховые кривые — линейная аппроксимация вторым слагаемым (16).

CdTe/Cd_{0.74}Mg_{0.26}Te при изменении t_{l-h} в диапазоне от 0 до 1. Как видно, включение интерфейсного смешивания приводит к существенному уменьшению абсолютного значения g -фактора за счет увеличения разности $\varepsilon_+ - \varepsilon_-$.

В подразделе 2.1 было указано, что зеемановское расщепление легкой дырки при $t_{l-h} \neq 0$ дается суммой линейного и корневого вкладов (см. (16)). Это означает, что линейная аппроксимация с использованием эффективного g -фактора, приведенного на рис. 2, *b*, имеет смысл только в некотором диапазоне полей при $B_z > B^*$. На рис. 3 приведено зеемановское расщепление, рассчитанное по формуле (15). Видно, что с ростом t_{l-h} увеличивается и значение B^* (рис. 3, *a*) и соответственно расширяется область, в которой линейная аппроксимация неприменима. В случае параметризации *B* при наличии интерфейсного смешивания ($t_{l-h} = 1$) во всем разумном диапазоне полей, используемых в эксперименте, $\Delta E_{z,\pm} \propto \sqrt{B_z}$ (рис. 3, *b*), поэтому использование линейной аппроксимации в этом случае невозможно.

4. Сопоставление теории с экспериментом

Применим теперь теорию, развитую в разделе 2, для описания экспериментальных данных. Результаты экспериментов (табл. 1) и результаты теоретических расчетов для ям InGaAs/InP, CdTe/CdMgTe и GaAs/AlGaAs сведены на рис. 4. Результаты расчетов показаны штриховыми

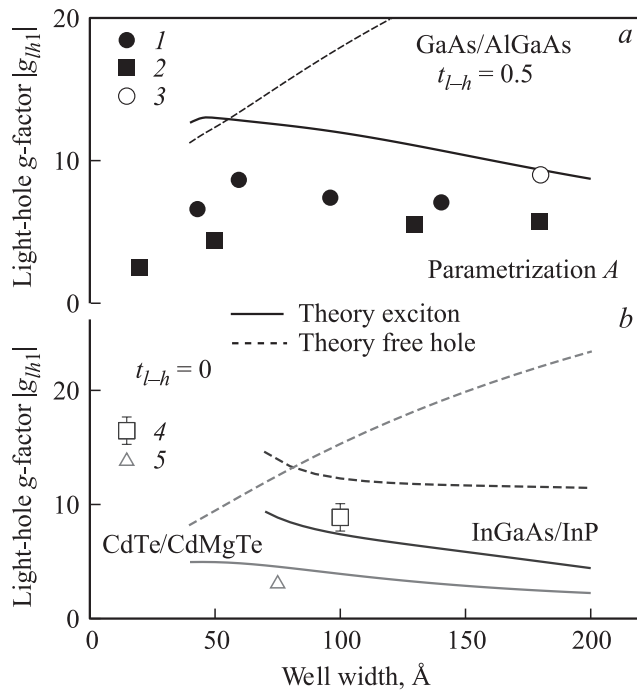


Рис. 4. g -фактор легкой дырки: сравнение эксперимента и теории. Точки — экспериментальные данные работ [12] (1), [11] (2), [8] (3), [10] (4) и [7] (5). Теоретические расчеты показаны линиями для квантовых ям GaAs/Al_{0.35}Ga_{0.65}As при $t_{l-h} = 0.5$ (a), In_{0.53}Ga_{0.47}As/InP и CdTe/Cd_{0.74}Mg_{0.26}Te при $t_{l-h} = 0$ (b). Кривые рассчитаны с учетом (сплошные линии) и без учета (штриховые линии) экситонных эффектов. Энергии связи экситонов, использованные в расчетах, приведены в тексте.

линиями для свободной дырки и сплошными линиями для дырки, связанной в экситоне; g -фактор дырки в экситоне рассчитан по формуле (20) в предположении, что коэффициент $C_x = 1$ и не зависит от ширины квантовой ямы. Строго говоря, в (20) входит энергия связи двумерного экситона E_{1s} , однако в расчете использовались меньшие значения E_{1s} , отвечающие реальным ямам. Отметим, что такой выбор E_{1s} завышает второе слагаемое в (20).

Расчеты по формуле (9a) с использованием параметризации C и $t_{l-h} = 0$ дают для ямы In_{0.53}Ga_{0.47}As/InP $g_{lh1} > 0$ и близкое к эксперименту абсолютное значение. Интересно, что в этой яме уровень $lh1$ лежит выше по энергии, чем $hh2$, поэтому расчет в рамках многоуровневой модели дает заметно меньшие (и более близкие к эксперименту) значения g_{lh1} , чем в резонансном приближении. Учет экситонных эффектов ($E_{1s} = 5$ meV [30]) приводит для этой ямы к уменьшению g -фактора примерно в 1.5 раза. Расчет для ямы CdTe/Cd_{0.74}Mg_{0.26}Te с использованием параметризации D предсказывает большие отрицательные значения g_{lh1} . Известно, однако, что экситонные эффекты в этой яме велики [31], расчет с использованием $E_{1s} = 20$ meV дает существенно меньшие абсолютные значения g -фактора. На рис. 4, a приведены кривые, рассчитанные для ямы GaAs/Al_{0.35}Ga_{0.65}As при

$t_{l-h} = 0.5$ для параметризации A. Расчет для свободной дырки выполнен по формуле (9a) работы [5] и, как видно, дает завышенные значения g -фактора по сравнению с экспериментом. Удовлетворительное согласие с экспериментальными данными в этом случае возможно только при учете экситонных эффектов ($E_{1s} = 10$ meV). Отметим, что, поскольку оба расчета для ямы GaAs выполнены в резонансном приближении, они не могут быть продолжены в область достаточно узких ям ($a \leq 40$ Å), в которой уровень $hh2$ попадает в непрерывный спектр. Количественное описание экспериментальных данных в приближении свободной дырки требует для ямы GaAs/AlGaAs больших значений параметра интерфейсного смешивания ($t_{l-h} \approx 3$), при которых теория предсказывает корневое поведение зеemanовского расщепления во всем диапазоне экспериментально используемых полей. Отметим, что параметризация B не дает качественного согласия с экспериментальными данными ни для свободной дырки, ни для дырки в экситоне.

5. Заключение

Таким образом, в работе были получены аналитические выражения для g -факторов тяжелой и легкой дырок в случае ямы с конечными барьерами с учетом всех уровней размерного квантования дырки в яме. Показано, что интерфейсное смешивание тяжелой и легкой дырок приводит к неаналитической зависимости зеemanовского расщепления легкой дырки от магнитного поля. Учет кулоновского взаимодействия между электроном и дыркой восстанавливает линейную зависимость эффекта Зеemана. Развита теория с учетом экситонных эффектов удовлетворительно описывает экспериментальные данные по g -фактору легкой дырки в квантовых ямах InGaAs/InP, CdTe/CdMgTe и GaAs/AlGaAs.

Автор выражает благодарность М.М. Глазову, Е.Л. Ивченко и С.А. Тарасенко за полезные обсуждения.

Список литературы

- [1] Е.Л. Ивченко, А.А. Кисилев. ФТП **26**, 1471 (1992).
- [2] I.A. Yugova, A. Greilich, D.R. Yakovlev, A.A. Kiselev, M. Bayer, V.V. Petrov, Y.K. Dolgikh, D. Reuter, A.D. Wieck. Phys. Rev. B **75**, 245 302 (2007).
- [3] А.А. Кисилев, Л.В. Моисеев. ФТП **38**, 1574 (1996).
- [4] T. Wimbauer, K. Oettinger, A.L. Efros. Phys. Rev. B **50**, 8889 (1994).
- [5] M. Durnev, M. Glazov, E. Ivchenko. Physica E **44**, 797 (2012).
- [6] В.Б. Тимофеев, М. Байер, А. Форхел, М. Потемский. Письма в ЖЭТФ **64**, 52 (1996).
- [7] D.R. Yakovlev, V.P. Kochereshko, R.A. Suris, H. Schenk, W. Ossau, A. Waag, G. Landwehr, P.C.M. Christianen, J.C. Maan. Phys. Rev. Lett. **79**, 3974 (1997).
- [8] П.В. Петров, Ю.Л. Иванов. ФТП **47**, 433 (2013).
- [9] O. Carmel, H. Shtrikman, I. Bar-Joseph. Phys. Rev. B **48**, 1955 (1993).

- [10] D.M. Hofmann, K. Oettinger, A.L. Efros, B.K. Meyer. Phys. Rev. B **55**, 9924 (1997).
- [11] Y.H. Chen, X.L. Ye, B. Xu, Z.G. Wang, Z. Yang. Appl. Phys. Lett. **89**, 051 903 (2006).
- [12] A. Arora, A. Mandal, S. Chakrabarti, S. Ghosh. J. Appl. Phys. **113**, 213 505 (2013).
- [13] A.A. Sirenko, T. Ruf, M. Cardona, D.R. Yakovkev, W. Ossau, A. Waag, G. Landwehr. Phys. Rev. B **56**, 2114 (1997).
- [14] Г.Л. Бир, Г.Е. Пикус. Симметрия и деформационные эффекты в полупроводниках. Наука, М. (1972). 584 с.
- [15] L.M. Roth. Phys. Rev. **133**, A542 (1964).
- [16] J.M. Luttinger. Phys. Rev. **102**, 1030 (1956).
- [17] И.А. Меркулов, В.И. Перель, М.Е. Портной. ЖЭТФ **99**, 1202 (1991).
- [18] G. Bastard. Phys. Rev. B **24**, 5693 (1981).
- [19] J.-M. Jancu, R. Scholz, E.A. de Andrada e Silva, G.C. Rocca. Phys. Rev. B **72**, 193 201 (2005).
- [20] Г.Е. Пикус, В.А. Марушак, А.Н. Титков. ФТП **22**, 185 (1988).
- [21] I. Vurgaftman, J.R. Meyer, L.R. Ram-Mohan. J. Appl. Phys. **89**, 5815 (2001).
- [22] G. Milchber, K. Saminadayar, E. Molva, H.R. Zelsmann. Phys. Status Solidi B **125**, 795 (1984).
- [23] И.Л. Алейнер, Е.Л. Ивченко. Письма в ЖЭТФ **55**, 662 (1992).
- [24] E. Ivchenko, A. Kaminski, U. Roessler. Phys. Rev. B **54**, 5852 (1996).
- [25] M.V. Durnev, M.M. Glazov, E.L. Ivchenko. Phys. Rev. B **89**, 075430 (2014).
- [26] A.A. Toropov, E.L. Ivchenko, O. Krebs, S. Cortez, P. Voisin, J.L. Gentner. Phys. Rev. B **63**, 035 302 (2000).
- [27] Э.И. Рашба. ФТТ **2**, 1224 (1960).
- [28] М.В. Боев, В.М. Ковалев. Письма в ЖЭТФ **97**, 150 (2013).
- [29] M.J. Snelling, E. Blackwood, C.J. McDonagh, R.T. Harley, C.T.V. Foxon. Phys. Rev. B **45**, 3922 (1992).
- [30] T. Mozume, J. Kasai, A. Gopal, N. Kotera. Physica E **21**, 703 (2004).
- [31] B. Kuhn-Heinrich, W. Ossau, H. Heinke, F. Fischer, T. Litz, A. Waag, G. Landwehr. Appl. Phys. Lett. **63**, 2932 (1993).